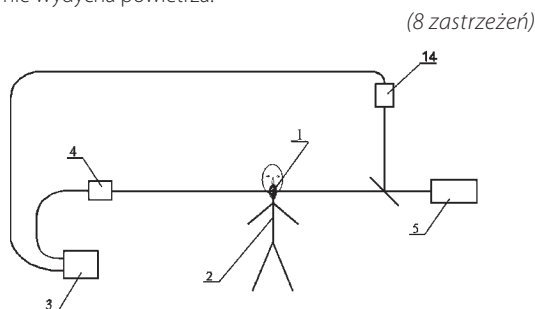


czone wiązki monochromatycznego światła emitowane z układu (5), których jedna jest emitowana na częstotliwości dopasowanej do pasma absorpcji par alkoholu, druga na częstotliwości dopasowanej do pasma absorpcji dwutlenku węgla, a trzecia nie pokrywająca się z pasmem absorpcji tych związków, układ detekcji (4), oraz układ przetwarzania danych (3). Wiązki światła w tym samym czasie lub w bardzo krótkich odstępach czasowych, po prześwietleniu obszaru wydychanego powietrza (1) przez kontrolowaną osobę fizyczną (2), są rejestrowane przez układ detekcji (4), dając sygnał różnicowy, na podstawie którego układ przetwarzania danych (3) sygnalizuje ewentualne wystąpienie par alkoholu w powietrzu wydychanym przez tę osobę, lub daje informację, że kontrolowana osoba nie wydycha powietrza.



Data wprowadzenia zmiany zastrzeżeń: 2012 02 29

A1 (21) 392781 (22) 2010 10 28

(51) G01N 33/02 (2006.01)

(71) POLITECHNIKA ŚLĄSKA, Gliwice

(72) TUDYKA KONRAD

(54) Sposób przyrządzania koktajlu ciekłoscyntylicyjnego do pomiarów niskich radioaktywności izotopu węgla ^{14}C , zwłaszcza w occie spożywczym

(57) Sposób przyrządzania koktajlu ciekłoscyntylicyjnego do pomiarów niskich radioaktywności izotopu węgla ^{14}C , zwłaszcza w occie spożywczym, wykorzystujący metodę ciekłoscyntylicyjnej spektrometrii promieniowania β , charakteryzuje się tym, że do roztworu korzystnie 500 ml 10% kwasu etanowego dodaje się zasadę z kationem sodu, a następnie odparowuje się wodę, po czym pozostałą sól CH_3COONa podgrzewa się do temperatury korzystnie 800°C pod ciśnieniem korzystnie 1 kPa i przy ciągłym odpompowywaniu lotnych produktów ubocznych w wyniku termolizy wytwarza się węglan sodu, który zalewa się korzystnie 200 ml 35% kwasu solnego i otrzymuje się dwutlenek węgla, który korzystnie podaje się do sporządzenia koktajlu scyntylicyjnego z benzenu i butylu-PBD.

(2 zastrzeżenia)

A1 (21) 392761 (22) 2010 10 26

(51) G01N 33/24 (2006.01)

G01N 1/04 (2006.01)

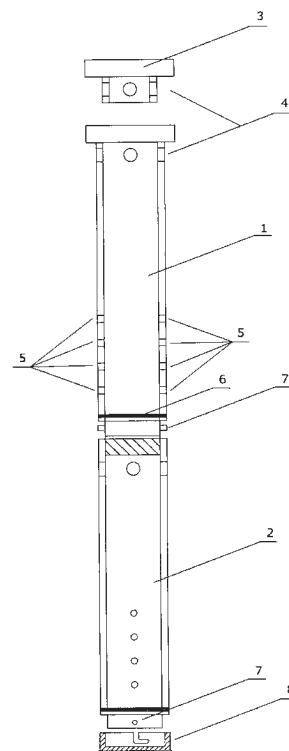
(71) INSTYTUT TECHNOLOGICZNO-PRZYRODNICZY, Falenty

(72) TERLIKOWSKI JERZY

(54) Próbnik rurowy do badania wydajności mineralizacji glebowej materii organicznej w profilu glebowym

(57) Próbnik rurowy do badania wydajności mineralizacji glebowej materii organicznej w profilu glebowym w warunkach naturalnych składa się z modułu podstawowego (1), modułów łącznikowych (2), pokrywy modułu podstawowego (3) oraz denka (8), zamykającego najniższej położony moduł. W górnej części modułów wykonane są otwory wentylacyjne (4), a w dolnej części otwory wentylacyjne (5). Moduły, podstawowy i łącznikowy, łączą się połączeniem bagietowym (7). Wewnątrz modułów znajdują się sita (6), na których umieszczane są próbki gleby.

(3 zastrzeżenia)



A1 (21) 392816 (22) 2010 11 02

(51) G01N 33/24 (2006.01)

(71) INSTYTUT TECHNOLOGICZNO-PRZYRODNICZY, Falenty

(72) BURZYŃSKA IRENA

(54) Sposób zastosowania roztworu $0.01 \text{ mol CaCl}_2 \cdot \text{dm}^{-3}$ do oceny stopnia rozkładu substancji próchnicznych w glebach

(57) Przedmiotem wynalazku jest sposób zastosowania roztworu $0,01 \text{ mol CaCl}_2 \cdot \text{dm}^{-3}$ do oceny stopnia rozkładu substancji próchnicznych z gleb łąkowych. Zastosowanie „łagodnego” roztworu chloru wapnia umożliwia izolowanie w stanie niezmiennym glebowej substancji organicznej. Podczas procesu ekstrakcji uwalniane są łatwo rozpuszczalne formy substancji próchnicznych, będących na różnym etapie rozkładu. Pomiar właściwości optycznych w wyciągu wykonuje się metodą kolorymetryczną za pomocą spektrofotometru w zakresie światła widzialnego (472 i 664 nm) i nadfioletu (280 nm).

(1 zastrzeżenie)

A1 (21) 392822 (22) 2010 11 02

(51) G01P 5/02 (2006.01)

G01F 1/26 (2006.01)

(71) AKADEMIA GÓRNICZO-HUTNICZA IM. STANISŁAWA STASZICA, Kraków

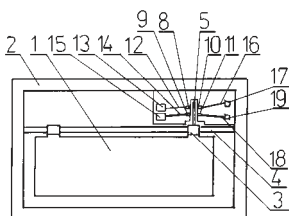
(72) WOJNAR EDWARD; KARWAT BOLESŁAW; MACHNIK RYSZARD; WOJNAR ŁUKASZ

(54) Anemometr światłowodowy

(57) Anemometr światłowodowy charakteryzuje się tym, że ma płytkę (1) zawieszoną obrotowo z wykorzystaniem łożysk ślizgowych (3) przy czym płytka powyżej osi obrotu ma grzebień w postaci półkolistej zakładki (5) ustawionej prostopadle do powierzchni płytki, która to zakładka jest trwale zespolona z płytką (1) tak, że kąt wychylenia płytki jest identyczny z kątem obrotu zakładki (5), która przemieszcza się pomiędzy dwiema ściankami w niewielkiej odległości od powierzchni ścianek, natomiast w obu ściankach naprzeciw siebie usytuowane są w dwu ćwiartkach, w dwóch współśrodkowych okręgach przylegające do siebie końcówki światłowo-

dów (8 i 9), których czoła są wyrównane z powierzchnią ścianek, światłowody z obu ćwiartek są prowadzone w dwóch oddzielnych wiązках, każda wiązka na końcu jest zaopatrzona w stosowny układ optyczny wprowadzający światło do światłowodów z dwóch oddzielnych źródeł, po drugiej stronie zakładki (5) w opozycji do ćwiartek światłowodów wprowadzających światło usytuowane są identyczne ćwiartki okręgów światłowodów odbierających światło, przy czym wiązki tych światłowodów są zakończone odpowiednimi detektorami (17 i 19).

(2 zastrzeżenia)



A1 (21) 392849 (22) 2010 11 03

(51) G01P 15/18 (2006.01)

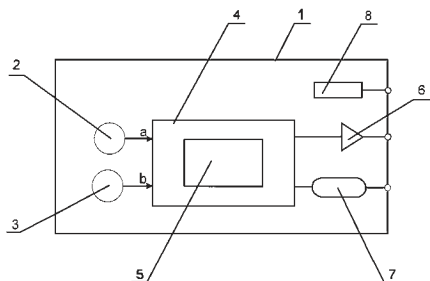
(71) RUTECKI KRZYSZTOF, Gaszowice; MIEDZIŃSKI BOGDAN, Wrocław; WOJTAS PIOTR, Kobiór

(72) RUTECKI KRZYSZTOF; MIEDZIŃSKI BOGDAN; WOJTAS PIOTR

(54) Układ detekcji zmiany lokalizacji przestrzennej modułu pomiarowego

(57) Układ ma czujnik (2) przyspieszenia grawitacyjnego i żyroskopowy czujnik (3) obrotu. Czujniki (2, 3) są przyłączone do obudowy (1), zaś ich wyjścia połączone są równolegle z mikroprocesorowym układem cyfrowego przetwarzania sygnałów klasy DSP, zawierającym dedykowany protokół przetwarzania danych wyposażony w bazę wiedzy. Układ przeznaczony jest, zwłaszcza do ciągłej kontroli stanu położenia górniczych urządzeń kontrolno-pomiarowych.

(2 zastrzeżenia)



A1 (21) 392872 (22) 2010 11 05

(51) G01R 27/26 (2006.01)

G01R 31/34 (2006.01)

(71) AKADEMIA GÓRNICZO-HUTNICZA IM. STANISŁAWA STASZICA, Kraków

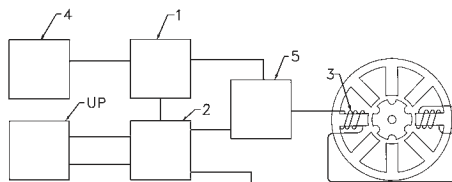
(72) DZIADECKI ALEKSANDER; GRZEGORSKI JANUSZ; SKOTNICZNY JÓZEF; ZARUDZKI JACEK

(54) Sposób wyznaczania indukcyjności fazowych przelączalnego silnika reluktancyjnego i układ do wyznaczania indukcyjności fazowych przelączalnego silnika reluktancyjnego

(57) Sposób wyznaczania indukcyjności fazowych przelączalnego silnika reluktancyjnego polega na tym, że kolejno do każdego niepołączonego z zasilaniem uzwojenia stojana załącza się źródło napięcia stałego i rozpoczyna się pomiar czasu, następnie śledzi się przebieg narastania od zera wartości prądu w uzwojeniu i z chwilą kiedy prąd osiągnie ustalony poziom wartości, korzystnie o wartości wielokrotnie mniejszej od nominalnej wartości prądu badanego uzwojenia, zmienia się polaryzację źródła napięcia stałego.

Następnie w dalszym ciągu śledzi się wartość prądu w uzwojeniu, a z chwilą, gdy wartość prądu zmniejszy się do zera, odczytuje się wartość zmierzonego czasu. W oparciu o zmierzona wartość tego czasu, wyznacza się wartość indukcyjności danego uzwojenia dla danego ustalonego położenia wirnika. Układ do wyznaczania indukcyjności fazowych ma blok kontrolno-sterujący (1) połączony z przełącznikiem dwutorowym (2), licznikiem czasu (4) oraz blokiem pomiaru prądu (5). Blok pomiaru prądu (5) połączony jest szeregowo z badanym elementem indukcyjnym (3) i dołączony do przełącznika dwutorowego (2), który z kolei połączony jest ze źródłem napięcia stałego (UP).

(2 zastrzeżenia)



A1 (21) 392856 (22) 2010 11 04

(51) G02B 6/42 (2006.01)

G02B 6/25 (2006.01)

G02B 6/24 (2006.01)

G02B 6/38 (2006.01)

(71) INSTYTUT TECHNOLOGII ELEKTRONOWEJ, Warszawa

(72) SŁYSZ WOJCIECH; BAR JAN; KŁOS HELENA; WĘGRZECKI MACIEJ; GRABIEC PIOTR

(54) Sposób łączenia światłowodu ze strukturą elementu aktywnego optycznie

(57) Przedmiotem wynalazku jest sposób łączenia światłowodu ze strukturą elementu aktywnego optycznie jakim jest emiter lub detektor, zwłaszcza nadprzewodzący, przeznaczony do pracy w niskich temperaturach (kilka °K). Według sposobu, łączy się światłowód ze strukturą elementu aktywnego optycznie wykorzystując element centrujący (2) wykonany na powierzchni elementu aktywnego oraz żywicę, którą to połączenie utrwala się. W sposobie tym, przed umieszczeniem światłowodu w elemencie centrującym, jego koniec pocienia się, korzystnie termicznie. Pocienienie ma kształt ściętego stożka, korzystnie jest kiedy średnica pocienionego rdzenia (4) na czole światłowodu jest co najmniej 2 krotnie mniejsza niż średnica rdzenia przed pocienieniem, a kąt (α) jaki tworzą tworzące stożka z osią światłowodu jest mniejszy niż 15° .

(3 zastrzeżenia)

